

خاستگاه و دگرگونی‌های سنگ‌های خروجی قلیایی نوزا در منطقه نهیندان- آسگی، شرق ایران

ندا مختاری^۱، علی احمدی^{*۱}، حسن میرنژاد^{۲و۳}

۱- گروه زمین‌شناسی، دانشکده علوم، دانشگاه سیستان و بلوچستان، زاهدان، ایران

۲- گروه زمین‌شناسی، دانشکده علوم، دانشگاه تهران، تهران، ایران

۳- گروه زمین‌شناسی و علوم زیست محیطی، دانشگاه میامی، اوهايو ۴۵۰۵۶، آمریکا

(دریافت مقاله: ۹۸/۲/۳۰، نسخه نهایی: ۹۸/۶/۲)

چکیده: سنگ‌های خروجی قلیایی نوزا در مناطق نهیندان و آسگی شامل بازانیت، هاوائیت، موژه‌آریت و بنموریت هستند. در بازانیت‌ها، مقادیر به نسبت کم $Mg\#$ و Cr بیانگر رخداد جدایش الیوین و کلینوپیروکسن از ماجمای اولیه سازنده آنهاست. همچنین در سنگ‌های هاوائیت، موژه‌آریت و بنموریت کاهش مقادیر کاکتوسیت، FeO، TiO₂، CaO، عناصر خاکی نادر متوسط (MREE) و سنگین (HREE) با افزایش مقدار SiO₂ نشان دهنده تاثیر فرایند جدایش کانی‌های آمفیبول، کلینوپیروکسن و اکسیدهای آهن و تیتان بر تغییرات ترکیب آنهاست. در بازانیت‌ها، هاوائیت‌ها و موژه‌آریت‌های دارای کمتر از ۵۲ درصد وزنی SiO₂، مقدار بالای Nb/U و نبود ناهنجاری منفی Nb و Ta نشان از بی اثر بودن و یا اثر ناچیز فرایند آلایش پوسته‌ای بر ترکیب این سنگ‌ها دارد. ویژگی‌های زمین‌شیمیایی و وجود بیگانه بلورهای کوارتز در سنگ‌های جدایش یافته تر، مانند تعدادی از موژه‌آریت‌ها و بنموریت‌ها، نشانگر اثر به نسبت بیشتر آلایش با پوسته قاره‌ای است. مقادیر و نسبت‌های عناصر کم مقدار در این سنگ‌ها شبیه بازلالت‌های قلیایی جزایر اقیانوسی (OIB) است. مقدار نسبت‌های Tb/Yb (Tb/Yb) بیش از ۱/۸۰ و Dy/Yb (Dy/Yb) بیش از ۱/۶۰ در این سنگ‌ها نیز بیانگر ناشی شدن ماجمای اسازنده آنها از یک گوشه سست کره‌ای در عمق پایداری کانی گارتنت است. همچنین، مدل سازی ذوب‌بخشی نشان می‌دهد که ماجمای اسازنده بازانیت‌ها برآمده از ۵ تا ۷ درصد ذوب‌بخشی و برای سایر نمونه‌ها از ۲ درصد ذوب‌بخشی یک خاستگاه گارتنت لرزولیتی است.

واژه‌های کلیدی: قلیایی؛ بازانیت؛ هاوائیت؛ موژه‌آریت؛ بنموریت؛ پهنه زمین‌درز سیستان.

پهنه زمین‌درز سیستان بررسی شده است.

در پهنه زمین‌درز سیستان، بارزترین رخنمون‌های ماجمای در بخش‌های شمالی و پهنه گسلی نه واقع هستند. در پهنه گسلی نه، سنگ‌های ماجمای شامل مجموعه‌های افیولیتی به سن کرتاسه پسین [۱]، سنگ‌های خروجی و درونی الیگومن تا میوسن و سنگ‌های خروجی میوسن تا کواترنری هستند [۲-۶]. سنگ‌های خروجی قلیایی نوزا بخش‌هایی از سنگ‌های خروجی میوسن تا کواترنری هستند. از این سنگ‌ها به دلیل

مقدمه
بررسی فعالیت‌های ماجمایی یک منطقه، به ویژه بررسی چگونگی تشکیل سنگ‌های خروجی می‌تواند به شناخت و درک بهتر تاریخ زمین‌شناسی یک منطقه و ماهیت خاستگاه گوشه‌ای و پوسته‌ای آن کمک نماید. فعالیت ماجمایی در پهنه زمین‌درز سیستان [۱] و قطعه لوت طی سال‌ها همواره مورد توجه بوده است. در این پژوهش نیز، بخش‌هایی از سنگ‌های خروجی مربوط به فعالیت ماجمایی قلیایی نوزا در پهنه گسلی، نه در

*نویسنده مسئول، تلفن: ۰۹۱۵۱۴۰۵۸۲۱، نامبر: ۰۵۴۳۳۴۴۶۵۶۵، پست الکترونیکی: aahmadi@science.usb.ac.ir

زمیندرز سیستان شامل گسل‌های نه شرقی، نه غربی، چشمۀ رضایی، نصرت آباد و کهورک هستند [۴، ۵]. بخش‌های میان دو گسل نه شرقی و نه غربی پهنه گسلی نه نامیده شده‌اند [۱۳]. این دو گسل تقریباً به طور موازی، در مرز میان پهنه زمین‌درز سیستان و قطعه لوت واقع هستند. طول این گسل‌ها حدود ۲۰۰ کیلومتر، از سریشه تا شمال نصرت آباد، و فاصله آنها ۱۰ تا ۲۰ کیلومتر است [۱۴].

سنگ‌های خروجی قلیایی نوزا به صورت گدازه، و مخروط‌های باطله دیده شده‌اند [۷، ۱۰، ۱۱]. سن سنجی‌های انجام شده توسط کمپ و گریفیس [۷]، والکر و همکاران [۸] و پانگ و همکاران [۱۰] سن آنها را حدود ۱۱ تا ۱۶ میلیون سال پیش نشان می‌دهند. بیشترین حجم رخنمون این سنگ‌ها در مناطق شمالی پهنه زمین‌درز سیستان و قطعه لوت است [۱۵]. در پهنه گسلی نه نیز، آنها را اغلب می‌توان در راستای گسل‌های نه شرقی و نه غربی، به ویژه در مناطق نهیندان و آسگی، دیده نمود. در این پژوهش، رخنمون‌های اصلی این سنگ‌ها در مناطق نهیندان و آسگی بررسی شده است. براساس نتایج زمین‌شیمیایی ارائه این پژوهش، سنگ‌های خروجی قلیایی نوزای مورد بررسی شامل بازانیت، هاوائیت، موژه‌آریت و بنموریت هستند.

بازانیت‌ها در بخش شرقی پهنه گسلی نه در منطقه‌ای به نام چاه چوچو دیده می‌شوند. در این منطقه، این سنگ‌ها در راستای گسل بندان واقع هستند (شکل ۱ ب). گسل بندان را گسل ریدلی مربوط به پهنه گسلی راستالغز نه معروف نموده‌اند [۱۳]. رخنمون بازانیت‌ها در این منطقه به صورت مخروط‌های سیندر است. رنگ این مخروط‌ها سیاه تا خاکستری تیره است (شکل ۱ پ). این مخروط‌ها اغلب از بمب، پوکه معدنی و واریزه‌های آتش‌نشانی تشکیل شده‌اند و ارتفاع آنها در حدود ۴۰ تا ۵۰ متر است.

هاوائیت‌ها، موژه‌آریت‌ها و بنموریت‌ها در مناطق نهیندان و آسگی در راستای گسل‌های نه شرقی و نه غربی دیده می‌شوند. ویژگی‌های صحرایی این سنگ‌ها در مناطق یاد شده درست شبیه هستند. میان این سنگ‌ها و گسل‌های موجود، ارتباط صحرایی نزدیکی وجود دارد (شکل ۱ ت). با توجه به دیده بیشتر رخنمون این سنگ‌ها درست در راستای گسل‌ها و دیدگاه کمپ و گریفیس [۷] و نیز والکر و همکاران [۸]، به نظر می‌رسد که این سنگ‌ها طی فوران‌های شکافی از درون گسل‌ها

سن نوزا (نیوژن) تعیین شده برای آنها و ماهیت شیمیایی قلیایی‌شان به عنوان "سنگ‌های قلیایی نوزا" یاد می‌شود [۷]. این سنگ‌ها در بخش‌های شمالی ایالت زمین‌شناسی سیستان و بخش‌هایی از پهنه گسلی نه در منطقه نهیندان توسط پژوهشگرانی چون کمپ و گریفیس [۷]، والکر و همکاران [۸]، ملاشاھی و همکاران [۹]، پانگ و همکاران [۱۰] و خیرخواه و همکاران [۱۱] بررسی شده‌اند. به گزارش این پژوهشگران سنگ‌های خروجی قلیایی نوزا شامل بازانیت، هاوائیت و موژه‌آریت هستند. پانگ و همکاران [۱۰] تغییرات ترکیبی در این سنگ‌ها را ناشی از رخداد جدایش کانی‌های الیوین، کلینوپیروکسن و اکسیدهای آهن و تیتان دانسته و نقش آلایش پوسته‌ای را بسیار کم اهمیت بیان کرده‌اند. به نظر آنها این سنگ‌ها شبیه بازالت‌های جزایر اقیانوسی (OIB) و برآمده از ۳ تا ۱۰ درصد ذوب‌بخشی از یک گوشه‌ته سست کرده‌ای هستند. خیرخواه و همکاران [۱۱] نیز این سنگ‌ها را شبیه OIB و مجموعه کانی‌ای جدایش یافته را شامل الیوین، کلینوپیروکسن و به احتمال بسیار فلدسپار دانسته‌اند. به نظر این پژوهشگران آلایش پوسته‌ای نقش مهمی در تغییرات ترکیبی این سنگ‌ها داشته‌اند. همچنین آنها این سنگ‌ها را برآمده از ذوب درجه پایین از یک گوشه‌ته ناهمگن شامل سازندگان شبیه گوشه مورب تهی شده (DMM) و گوشه‌ته غنی شده دو (EMII)، دانسته‌اند.

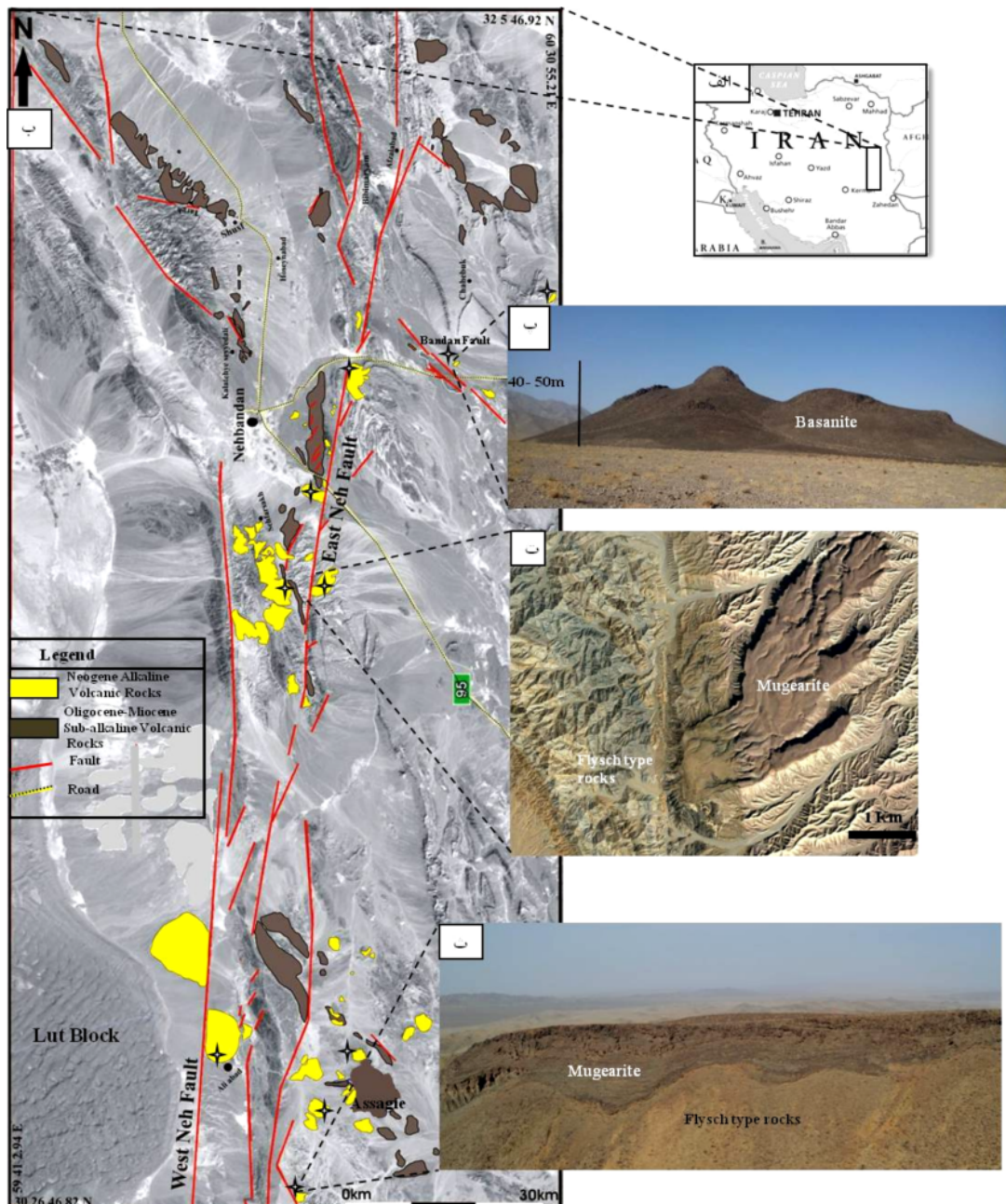
چنان که بیان شد، به نظر می‌رسد که با وجود پژوهش‌های ارزشمند انجام شده، شناخت بهتر خاستگاه این فعالیت ماقمایی و فرایندهای موثر بر آنها نیازمند بررسی‌های بیشتر است. از این رو در این پژوهش، سنگنگاری و زمین‌شیمیایی تعدادی از این رخنمون‌های سنگ‌های خروجی قلیایی در مناطق نهیندان و آسگی، واقع در پهنه گسلی نه، بررسی شده است. همچنین، به ماهیت خاستگاه و اثر فرایندهای جدایش بلورین و آلایش پوسته‌ای بر تغییرات ترکیب آنها پرداخته شده است.

زمین‌شناسی

واحدهای سنگی اصلی سازنده پهنه زمین‌درز سیستان، مجموعه‌های افیولیتی، سنگ‌های خروجی و درونی، رسوب‌های فلیشی و سنگ‌های دگرگونه در حد اسلیت و فیلیت هستند. این واحدها اغلب در راستای گسل‌ها قرار دانسته و با هم مرزهای گسلی دارند [۵-۱۲]. گسل‌های اصلی در پهنه

میلیمتر تا ۲ سانتیمتر دیده می‌شود. همچنین برآوردهای خروجی چون تفرا در بخش پایینی برخی از رخنمون‌ها، و قطعه‌های و بمب روی سطح گدازه‌ها دیده می‌شود. این سنگ‌های خروجی را می‌توان روی افیولیت‌ها، سنگ‌های خروجی الیگوسن-میوسن و فلیش‌ها دیده نمود.

خارج شده و بر سطح روان گشته‌اند (شکل ۱ ت). این سنگ‌ها بیشتر به صورت گدازه و یا بقایایی از گدازه با ظاهر تخت مانند و به رنگ قهوه‌ای تا قهوه‌ای تیره دیده می‌شوند (شکل ۱ ث). ضخامت آنها از ۱۰ متر تا بیشتر از چند صد متر است. در نمونه‌های دستی برخی از موژه‌آریت‌ها و بنموریت‌ها، بیگانه بلورهای کوارتز سفید، صورتی و بنفش رنگ با ابعاد چند



شکل ۱ الف) نقشه ایران؛ مستطیل مشکی جایگاه منطقه مورد بررسی را نشان می‌دهد. ب) تصویر ماهواره‌ای گسل‌های نه شرقی، و نه غربی؛ برگرفته از گوگل ارث؛ موقعیت نمونه‌های مورد بررسی با ستاره‌های سیاه رنگ مشخص شده است. پ) یک محروم خاکستر بازانیتی در جنوب غرب چاه چوچو. ت) تصویر ماهواره‌ای یک گداره موژه‌آریتی؛ درست در راستای گسل نه شرقی برگرفته از گوگل ارث. ث) یک گداره موژه‌آریتی جریان یافته بر سنگ‌های فلیشی.

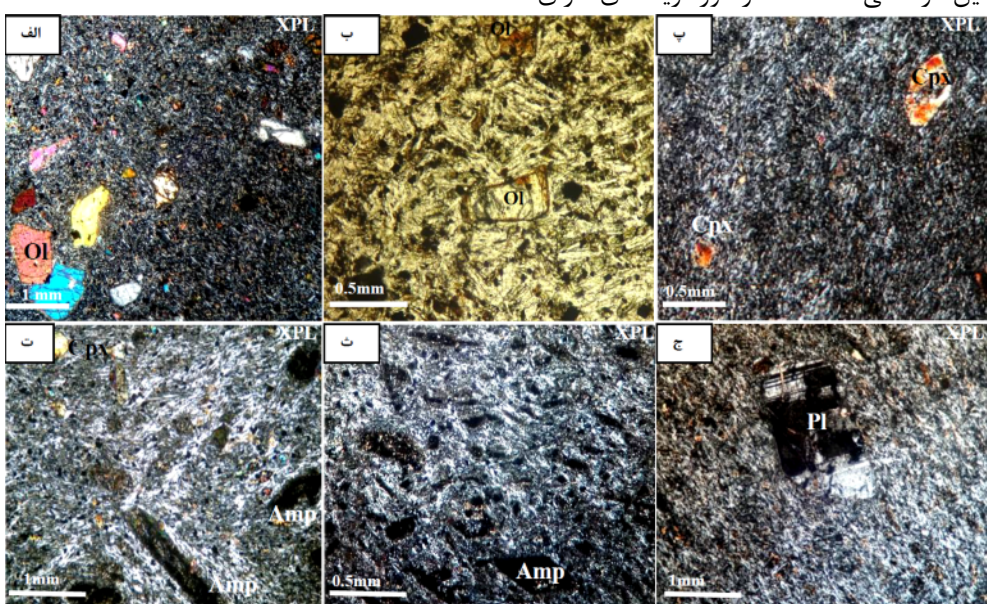
مقدار SiO_2 بیشتر و بنموریت‌ها، درشت بلورها شامل ۵ تا ۲۰ درصد آمفیبول و یا بیوتیت و ۱ تا ۲ درصد بلورهای کلینوپیروکسن هستند. زمینه این سنگ‌ها در اصل شامل فلدسپار قلیایی و کلینوپیروکسن است و اکسیدهای آهن و تیتان ۲ تا ۳ درصد آنها را تشکیل می‌دهند. در موژه‌آریت‌ها و بنموریت‌ها، بیگانه بلور نیز به چشم می‌خورد.

درشت بلورهای الیون با ابعاد بین ۰/۵ تا ۰/۰۵ میلیمتر بیشتر به صورت بلورهای شکل‌دار تا نیمه شکل‌داری دیده می‌شوند که اغلب لبه ایدینگزیتی (شکل ۲ ب) دارند. درشت بلورهای کلینوپیروکسن بیشتر به صورت بلورهای نیمه شکل‌دار و گاه شکل‌دار با ابعاد ۰/۱ تا ۰/۳ میلیمتر هستند (شکل ۲ پ). رنگ آنها در نور PPL سبز روشن است و دیوپسید به نظر می‌رسند. در این سنگ‌ها، بلورهای آمفیبول و یا بیوتیت به صورت درشت بلورهایی با ابعاد ۰/۱ تا ۱ میلیمتر دیده می‌شوند. این کانی‌ها به صورت شبه‌ریخت‌هایی هستند که اغلب با اکسیدهای آهن و تیتان جایگزین شده‌اند (شکل‌های ۲ ت و ۳). در این سنگ‌ها، بیگانه بلورهای دیده شده شامل بلورهای کوارتز، فلدسپات قلیایی و پلازیوکلаз (شکل ۲ ج) هستند. این کانی‌ها به صورت تقریباً گردشده و با ابعاد ۱ تا ۴ میلیمتر هستند. در لبه برخی از بیگانه بلورهای کوارتز، لبه واکنشی (کرونا) شامل بلورهای ریز کلینوپیروکسن نیز به چشم می‌خورد.

سنگنگاری

بازانیت‌ها سنگ‌هایی با بافت پورفیری هستند. درشت بلورها شامل ۸ تا ۱۴ درصد الیون و کمتر از ۲ درصد سانیدین، نفلین و کلینوپیروکسن هستند. زمینه به ترتیب فراوانی شامل بلورهای الیون، سانیدین و نفلین است و اکسیدهای آهن و تیتان ۱ تا ۳ درصد این سنگ‌ها را تشکیل می‌دهند. درشت بلورهای الیون با ابعاد بین ۰/۵ تا ۱ میلیمتر اغلب به صورت شکل‌دار تا نیمه شکل‌دار (شکل ۲ الف) دیده می‌شوند. درشت بلورهای کلینوپیروکسن به صورت بلورهای شکل‌دار و در ابعاد بین ۰/۲ تا ۰/۵ میلیمتر هستند. این کانی در نور قطبیده صفحه‌ای (PPL) بی‌رنگ تا سبز روشن است و دیوپسید به نظر می‌رسد. درشت بلورهای سانیدین و نفلین به صورت بلورهای شکل‌دار تا نیمه شکل‌دار و در ابعاد ۰/۲ تا ۰/۵ میلیمتر دیده می‌شوند.

بافت اصلی هاوائیت‌ها، موژه‌آریت‌ها و بنموریت‌ها جریانی (تراکیتی) است و بافت پورفیری نیز دیده می‌شود. ۸۰ تا ۸۰ درصد این سنگ‌ها را کانی‌های فلدسپار قلیایی تشکیل می‌دهند. بافت جریانی دیده شده (شکل‌های ۲ پ، ت و ث) نتیجه هم‌راستایی نیمه موازی بلورهای فلدسپار قلیایی است. در هاوائیت‌ها و موژه‌آریت‌های دارای مقدار SiO_2 کمتر از ۵۲ درصد وزنی، درشت بلورها شامل ۱ تا ۴ درصد الیون، ۲ تا ۷ درصد کلینوپیروکسن و گاه کمتر از ۲ درصد آمفیبول و یا بیوتیت هستند. این در حالی است که در موژه‌آریت‌های دارای



شکل ۲ تصویر میکروسکوپی از (الف) بازانیت؛ بافت پورفیری، درشت بلور الیون، زمینه دربردارنده بلورهای فلدسپار قلیایی و الیون، (ب) هاوائیت دارای درشت بلور الیون و لبه ایدینگزیتی در الیون، (پ) هاوائیت دارای درشت بلور کلینوپیروکسن، بافت جریانی و ریزپورفیری، (ت و ث) به ترتیب موژه‌آریت و بنموریت، بافت تراکیتی، ریزپورفیری و پورفیری، درشت بلورها و ریزدرشت بلورها شامل کلینوپیروکسن و شبه ریخت‌های آمفیبول، زمینه شامل فلدسپار قلیایی و کلینوپیروکسن و (ج) بیگانه بلور پلازیوکلاز در موژه‌آریت. علائم اختصاری کانی‌ها بر گرفته از مرجع [۱۶] است.

و ۴ درصد برای عناصر خاکی نادر (REE) و فلزات واسط است. درستی نیز بهتر از ۶/۵ درصد برای عناصر اصلی، ۱۱ درصد برای ۱۵، LILE ۶ درصد برای HFSE، ۶ درصد برای REE و ۱۵ درصد برای فلزات واسط است.

زمین شیمی

چنان که در جدول ۱ دیده می‌شود، مقدار مواد فرار (LOI) این سنگ‌ها ۰/۰۷ تا ۱/۳۰ و متوسط آن ۰/۵۴ درصد وزنی است. با توجه به مقدار LOI و بررسی‌های میکروسکوپی انجام شده، این نمونه‌ها کاملاً سالم و بدون هرگونه دگرسانی هستند. تنها یک نمونه (Q12) دارای مقدار LOI برابر با ۳/۸۰ درصد وزنی است. در این نمونه، زمینه سنگ سریتی شده است و کمی کلسیت نیز دیده می‌شود.

روش انجام پژوهش

پس از بررسی‌های میکروسکوپی، تعداد ۱۱ نمونه انتخاب و پس از پودر شدن، برای انجام تجزیه شیمیایی به روش‌های طیف‌سنجدی فلئورسانس پرتوی X (XRF) و طیف‌سنجدی جرمی Met-پلاسمای جفت شده القایی (ICP-MS) به آزمایشگاه Solve Analytical در کانادا ارسال شدند. به منظور ارزیابی دقث و درستی داده‌ها، تعداد ۳ نمونه استاندارد [TD-1] [۱۷] نیز به طور ناشناس تجزیه شدند. مقدار انحراف معیار ۲۸ برای متوسط مقادیر ۳ نمونه استاندارد به عنوان دقث در نظر گرفته شد [۱۸]. دقث به دست آمده بر این اساس بهتر از ۰/۰۸ درصد برای عناصر اصلی، ۷/۵ درصد برای عناصر سنگ دوست بزرگ (HFSE)، ۷ درصد برای عناصر با شدت میدان بالا (LILE) و ۱۰ درصد برای عناصر با شدت میدان بالا (CIPW) است.

جدول ۱ مقادیر عناصر اصلی (درصد وزنی)، معیار CIPW، و مقادیر عناصر کم مقدار (قسمت در میلیون) در نمونه‌های مورد بررسی. علائم اختصاری کانی‌ها برگرفته از مرجع [۱۶] است.

	Ch3	Ch9	S30	V2	Q12	Q23	QA12	S10	QB1	V22	QC14
	نمونه	نمونه	نمونه	نمونه	نمونه	نمونه	نمونه	نمونه	نمونه	نمونه	نمونه
SiO ₂	۴۵۷۱	۴۰۹۹	۴۹.۰	۵۰.۴۸	۵۱.۰	۵۱.۸۵	۵۲۲۲	۵۳۰۵	۵۷۵۵	۵۰۵۶	۵۰۲۳
TiO ₂	۳.۱۳	۳.۲	۲.۲۷	۲.۴۱	۱.۰۸	۱.۸	۲.۱۹	۱.۹۹	۱.۷۹	۲.۰۱	۱.۷۱
Al ₂ O ₃	۱۴.۹	۱۴۲۳	۱۴.۵	۱۴.۹۵	۱۴۲۵	۱۵۳۲	۱۵۴۵	۱۴۸۷	۱۵۳۱	۱۵۱۱	۱۵۸
FeO	۱.۸۸	۱.۸۲	۱.۳۶	۱.۳۴	۰.۹۳	۰.۱۸	۱.۲۸	۱.۱۲	۱.۰۵	۱.۱۴	۰.۹۵
Fe ₂ O ₃	۱۰.۶۷	۱۲.۳۱	۷.۷۷	۷.۶۲	۵.۰۵	۶.۱۵	۷.۲۶	۶.۴۲	۵.۹۴	۶.۴۴	۵.۳۷
MnO	۰.۱۷	۰.۱۶	۰.۱۲	۰.۱۲	۰.۰۹	۰.۱۱	۰.۱۳	۰.۱۳	۰.۱۲	۰.۱	۰.۱
MgO	۸.۴۲	۸.۶۴	۴.۸	۵.۲	۲.۲۹	۴.۳۹	۴.۹۸	۵.۰۹	۴.۴۳	۴.۴۸	۳.۵۲
CaO	۷.۷۶	۸.۰۸	۹.۸	۸.۹۱	۸.۳۵	۹	۸.۷۱	۸.۸۶	۸.۱۳	۸.۰۹	۷.۹۶
Na ₂ O	۰.۴۲	۰.۰۱	۰.۵۷	۰.۵۶	۰.۵۳	۰.۵۹	۰.۵۷	۰.۵۴	۰.۵۶	۰.۵۳	۰.۴۷
K ₂ O	۱.۴۸	۱.۴۹	۱.۴	۱.۳۴	۱.۲۲	۱.۰۸	۱.۴۲	۱.۰۵	۱.۷۵	۱.۶۳	۱.۷۲
P ₂ O ₅	۰.۰۷	۰.۰۸	۱.۱۴	۱.۱	۰.۰۲	۱.۲۲	۱.۰۷	۱.۰۵	۰.۹۱	۱	۰.۰۷
ماده فرار (LOI)	۰.۰۷	۰.۳۲	۱.۰۳	۰.۴۸	۳.۸	۱.۳	۰.۲	۰.۵۲	۰.۴۵	۰.۵۷	۰.۴۶
مجموع	۹۹.۲۴	۱۰۰.۱۹	۹۸.۵۷	۹۹.۳۲	۹۳.۲۱	۹۸.۶۳	۱۰۰.۷۴	۹۹.۷۳	۹۹.۸۷	۱۰۰.۴۸	۹۹.۶۶
Mg#	۵۸	۶	۵۲	۵۰	۵۷	۵۶	۵۵	۵۹	۵۶	۵۶	۵۴
Nph	۱۴.۳۳	۱۲.۰۵	۱۲.۲	۷.۵۷	۷.۱۷	۸.۰۷	۶.۵۷	۳.۲	۳.۲۱	۰.۷	۵۶۸
Cpx	۲۰.۷۵	۱۹.۱۲	۲۷.۰۲	۲۰.۴	۲۵.۱۲	۲۲.۳۵	۲۰.۲	۲۰.۹۲	۲۰.۲۱	۱۷.۷۸	۲۰.۱۸
Ol	۱۶.۵۲	۱۶.۷۶	۵.۹۳	۹.۱۳	۲.۶۶	۵.۷	۸.۳۲	۷.۶۳	۵.۸۹	۷.۴۶	۴.۰۴
La	۱۹.۴	۲۲.۴	۰.۵۶	۰.۵۱	۰.۵۶	۶.۰۹	۴.۵۱	۵.۳	۵.۷	۵.۹۹	۵۱.۱
Ce	۶۱.۹	۶۷	۱۲۳.۸	۱۱۲.۴	۱۱۲.۹	۱۲۹.۲	۱۰.۱۸	۱۱۲.۹	۱۲۴.۶	۱۱۶.۳	
Pr	۹.۶	۹.۶۶	۱۴.۲۷	۱۳.۸۰	۱۳.۱۹	۱۳.۸۲	۱۲.۱۵	۱۳.۵۸	۱۲.۵۹	۱۴.۴۴	۱۲.۸۵
Nd	۴۳.۲۵	۴۶.۰۳	۵۹.۷۸	۵۷.۴۲	۵۱.۲۱	۵۳	۴۹.۸	۵۴.۳۸	۴۹.۶۱	۵۷.۹۹	۵۰.۲۴
Sm	۹.۰۶	۹.۳۹	۹.۹	۹.۹۴	۸.۱۳	۸.۰۵	۸.۶۱	۸.۹۴	۸.۱۴	۹.۷۶	۸.۲۴
Eu	۲.۵۲	۲.۳۹	۲.۷۵	۲.۶۲	۲.۱۱	۲.۲۳	۲.۵۴	۲.۲۴	۲.۱	۲.۵۹	۲.۲۵
Gd	۹.۲۸	۹.۳۴	۸.۹۳	۸.۲۱	۶.۶۸	۷.۴۴	۷.۸۱	۸.۱۳	۷.۰۸	۷.۹۱	۶.۷۷
Tb	۱.۱۱	۱.۰۲	۱.۱۲	۱.۰۶	۰.۹۱	۰.۹۴	۱.۰۱	۱.۰۱	۰.۹۱	۱	۰.۸۷
Dy	۰.۵۴	۰.۳۷	۰.۷	۰.۵	۰.۴۶	۰.۴۳	۴.۶۳	۴.۲۲	۳.۸۹	۴.۷۱	۳.۵۹
Ho	۰.۹۹	۰.۸۸	۰.۷۹	۰.۸	۰.۶۳	۰.۶۵	۰.۷۸	۰.۶۹	۰.۶۵	۰.۷۶	۰.۶۱
Er	۲.۲۱	۲.۰۵	۲.۰۴	۲.۰۴	۱.۶	۱.۷۲	۱.۸۵	۱.۸۱	۱.۷۵	۱.۸۳	۱.۶۲
Tm	۰.۲۸	۰.۳۴	۰.۲۶	۰.۲۷	۰.۱۹	۰.۲۲	۰.۲۳	۰.۲۱	۰.۲۱	۰.۲۳	۰.۱۷
Yb	۱.۱۹	۱.۲	۱.۰۸	۱.۴۹	۱.۱۲	۱.۰۸	۱.۰	۱.۰۵	۱.۰۶	۱.۰۱	۱.۱۲
Lu	۰.۳	۰.۳۶	۰.۲۴	۰.۲۱	۰.۱۷	۰.۲	۰.۲	۰.۱۹	۰.۲	۰.۲۱	۰.۱۷
Y	۲۲.۴۷	۲۲.۳۳	۱۹.۸۲	۱۹.۵۷	۱۶.۰۶	۱۶.۵۲	۱۸.۰۳	۱۸.۵۳	۱۶.۹۱	۱۸.۵۲	۱۵.۴۹
Rb	۴۳	۳۰	۲۹	۲۰	۳۷	۳۰	۲۴	۳۷	۳۳	۵۱	۳۵
Sr	۷۷۶	۷۷۹	۱۰۵	۱۴۶۸	۱۴۰۵	۱۶۲۵	۱۱۰۵	۲۶.۰۲	۱۱۴۹	۱۳۶۸	۱۵۶۲
Cs	۳	۱۴۲	۱۰۹	۰.۲۱	۱.۱۷	۰.۸۲	۰.۷۲	۱.۰۹	۰.۹۹	۱.۶۶	۰.۹۲
Ba	۲۵۰	۲۵۳	۶۶۲	۴۸۹	۷۶۸	۷۸۹	۴۵۵	۶۰۹	۶۸۶	۵۵۸	۷۲۵
Zr	۲۴۶	۲۳۵	۲۰۸	۲۷۳	۱۸۹	۲۲۴	۲۴۶	۷۰۸	۲۴۲	۲۷۲	۲۰۵
Hf	۶۲۲۳	۶۱	۵۱۸	۶۱	۶۴۴	۵۰۸	۵۸۷	۵۸۷	۵۵۲	۶۴۴	۵۵۲
Nb	۲۷	۵۷	۵۳	۶	۵۵	۵۵	۵۹	۵۳	۴۶	۵۵	۵۱
Ta	۱.۹	۲۲۸	۳۲۲	۳۶۱	۳۲۲	۳۰.۴	۳۴۳	۳۰.۴	۲۶۶	۳۶۱	۳۸۰
Th	۱.۶۲	۲.۱۷	۴.۶۷	۳.۵۹	۱۱.۰۲	۷.۳۱	۴.۵۴	۷.۲۴	۶.۸۲	۷.۹۹	۸.۹۷
U	۰.۸	۰.۶۵	۰.۶۸	۲.۴۳	۲.۱۴	۰.۷۶	۰.۵۹	۰.۸۹	۰.۹۷	۱.۳۶	۱.۲۹
Ni	۱۵۹	۱۴۱	۴۷	۶۷	۵۸	۳۲	۶۵	۴۱	۲۵	۵۲	۲۳
Cr	۱۶۹	۱۳۳	۱۲۴	۱۲۰	۶۶	۸۷	۱۰۴	۱۱۹	۸۳	۱۲۸	۶۰
V	۲۱۷	۲۴۲	۱۹۲	۱۷۲	۱۲۳	۱۴۹	۱۷۲	۱۷۶	۱۴۱	۱۷۱	۱۴۷

مقدار O , K_2O و Sr وجود دارد. این روندها می‌توانند شاهدی بر ارتباط بین این سنگ‌ها، در نتیجه رخداد فرایند جدایش بلورین باشند [۲۳].

در نمودار REE بهنجار شده به کندریت C1 [۲۴] (شکل ۵ الف)، الگوهای دیده شده برای نمونه‌ها تقریباً مشابه است. برای همه نمونه‌ها، غنی‌شدگی در عناصر نادر سبک (LREE) نسبت به عناصر خاکی نادر متوسط (MREE) و سنگین (HREE) دیده می‌شود. در بازانیت‌ها نسبت به هاوائیت‌ها، موژه‌آریت‌ها و بنموریت‌ها، غنی‌شدگی LREE نسبت به MREE و HREE کمتر است. مقدار متوسط نسبت-های $(La/Yb)_N$ و $(La/Sm)_N$ در بازانیت‌ها به ترتیب $7/34$ و $1/48$ و در نمونه‌های هاوائیت، موژه‌آریت و بنموریت به ترتیب $20/28$ تا $34/83$ و $3/17$ تا $4/84$ است. ناهنجاری منفی در بازانیت‌ها، در هاوائیت‌ها $0/88$ ، در موژه‌آریت‌ها $0/93$ تا $0/83$ و در بنموریت‌ها $0/88$ است.

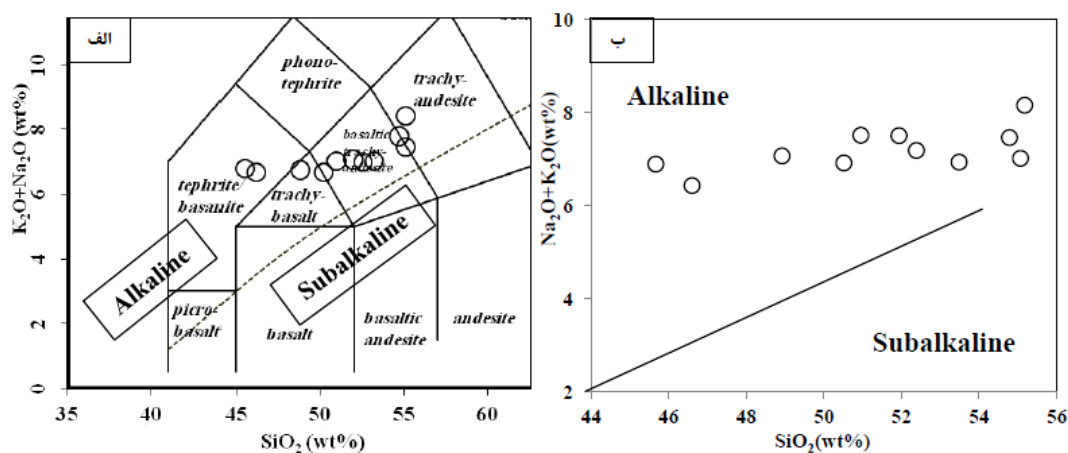
در نمودار عنکبوتی بهنجار شده به گوشه‌های اولیه [۲۴] (شکل ۵ ب) نیز، الگوهای دیده شده برای همه سنگ‌ها تقریباً مشابه است. چنان که دیده می‌شود، در همه نمونه‌ها LILE و HFSE غنی‌تر از LREE و HREE هستند. هرچند، در این الگوها نیز غنی‌شدگی‌های دیده شده در بازانیت‌ها کمتر از سایر نمونه‌های است. در بازانیت‌ها تنها ناهنجاری منفی در عنصر Th دیده می‌شود، اما در هاوائیت‌ها، موژه‌آریت‌ها و بنموریت‌ها ناهنجاری مثبتی در عناصر Ba, Sr, Th, P و ناهنجاری منفی ضعیفی در عنصر Ti وجود دارد.

بحث

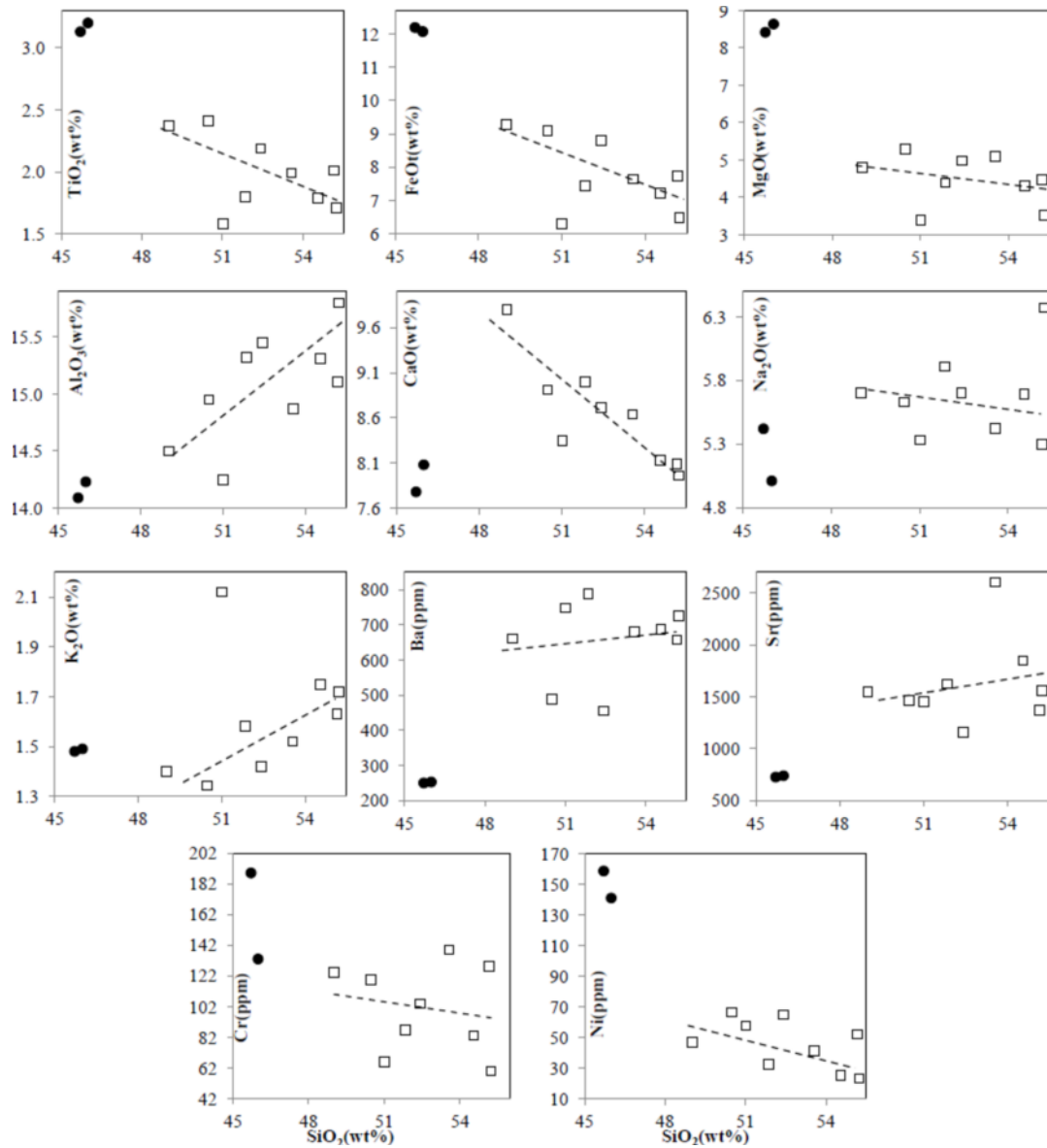
براساس نتایج زمین شیمیایی، نمونه‌های مورد بررسی گستره‌ای از سنگ‌های مافیک تا حدوداً قلیایی را نشان می‌دهند. با توجه به ویژگی‌های سنگنگاری و زمین شیمیایی و همچنین نتایج پانگ و همکاران [۱۰] و خیرخواه و همکاران [۱۱]، برای سنگ‌های مشابهی از نظر ترکیب، به نظر می‌رسد که به احتمال بسیار فرایندهای جدایش بلورین، یا آلایش پوسته‌ای و یا هر دو بر تغییرات ترکیبی دیده شده در این سنگ‌ها موثر بوده است. بر این اساس، اثر این فرایندها بر نمونه‌ها بررسی شده‌اند.

سنگ‌های مورد بررسی، با SiO_2 بین $45/71$ تا $55/23$ درصد وزنی، در رده‌بندی عناصر سنگدوست بزرگ یون (IUGS) [۱۹] (شکل ۳ الف) در گستره بازانیت/تفریت، تراکی بازالت، تراکی آندزی بازالت و تراکی آندزیت واقع هستند. براساس بررسی‌های میکروسکوپی انجام شده و توجه به رده‌بندهای و نامگذاری ویلیامز و همکاران [۲۰]، نمونه‌های واقع در گستره بازانیت، تفریت به دلیل داشتن بیش از 10 درصد IUGS به سنگ‌های قرار گرفته در گستره تراکی بازالت، تراکی آندزی بازالت و تراکی آندزیت، برای مقدار $Na_2O - 2K_2O$ بیش از Na_2O به ترتیب اسامی هاوائیت، موژه‌آریت و بنموریت و در صورت مقدار $Na_2O - 2K_2O$ به ترتیب اسامی تراکی بازالت پتاسیم دار، شوشوئیت و لاتیت داده شده است [۱۹]. بر این اساس، نمونه‌های مورد بررسی با توجه به مقدار $Na_2O - 2K_2O$ (۳/۳۰ تا ۴/۳۷) بیشتر از K_2O (۲/۱۲ تا ۱/۳۴) هاوائیت، موژه‌آریت و بنموریت نامیده شده‌اند.

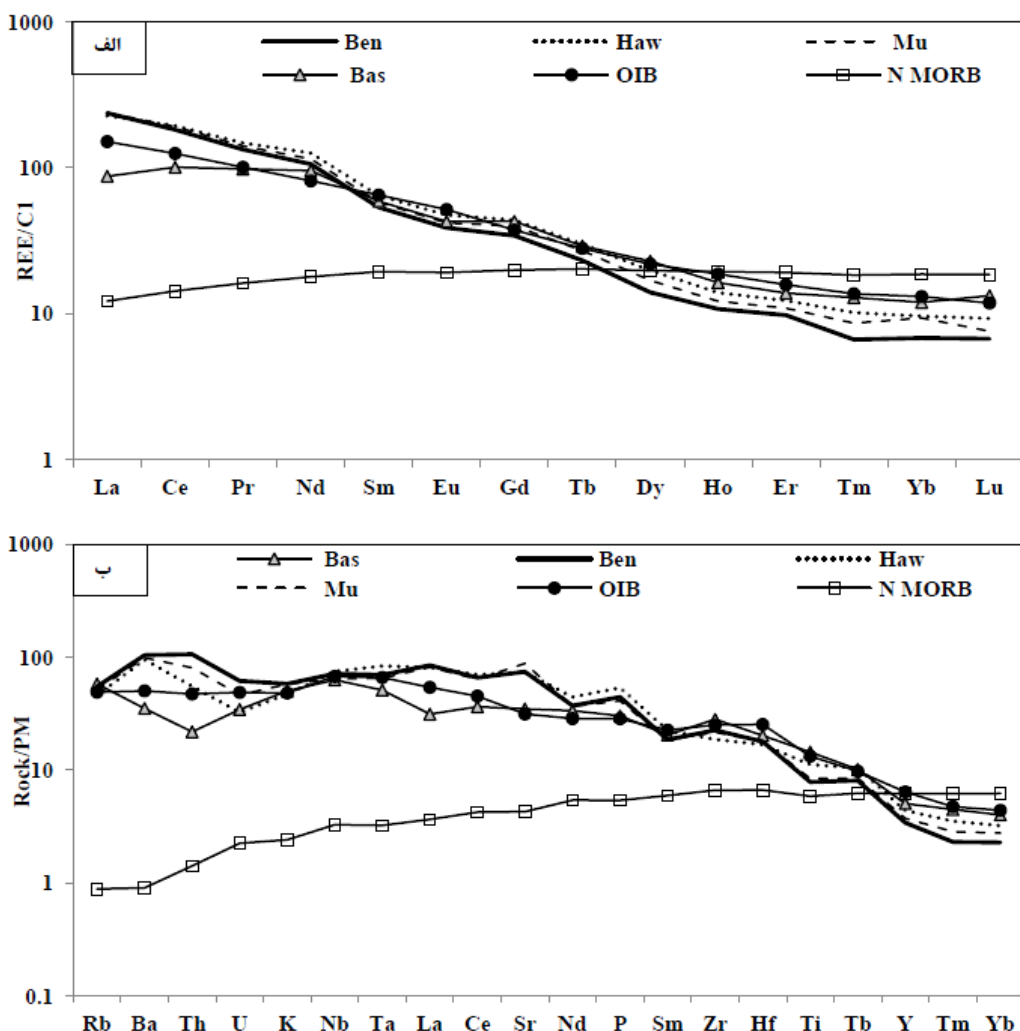
چنان که در شکل ۳ دیده می‌شود، همه نمونه‌ها در گستره سری قلیایی قرار دارند. حضور نفلین به همراه الیوین در معیار CIPW محاسبه شده برای آنها (جدول ۱) نیز شاهد دیگری بر وابستگی این سنگ‌ها به سری ماغمایی قلیایی است. همچنین، در این سنگ‌ها مقدار Na_2O/K_2O بیشتر از یک ($2/51$ تا $4/19$) بازگوی ارتباط آنها با سری ماغمایی سدیمی است [۲۱]. بازانیت‌ها با دارا بودن کمترین مقدار SiO_2 (مقدار متوسط $45/85$ درصد وزنی) و بیشترین مقدار MgO (مقدار متوسط $8/53$ درصد وزنی) مافیک‌ترین ترکیب را در میان مجموعه سنگی مورد بررسی نشان می‌دهند. البته آنها در مقایسه با سایر نمونه‌ها مقدار CaO , Al_2O_3 و Sr کمتری دارند (جدول ۱). بنابراین به نظر نمی‌رسد که هاوائیت‌ها، موژه‌آریت‌ها و بنموریت‌ها برآمده از رخداد فرایند جدایش بلورین [۲۲] از ماغمایی نزدیک به ترکیب بازانیت‌ها باشند. هر چند چنان که در شکل ۴ دیده می‌شود، در نمونه‌های هاوائیت، موژه‌آریت و TiO_2 بیشتر با افزایش مقدار SiO_2 روند کاهشی در مقدار Ni , Na_2O , CaO , MgO , FeO_t



شکل ۳ (الف) نمودار SiO_2 نسبت به $\text{Na}_2\text{O} + \text{K}_2\text{O}$ [۲۳] و (ب) نمودار $\text{Na}_2\text{O} + \text{K}_2\text{O}$ نسبت به SiO_2 [۱۹]. همه نمونه‌ها با دو ایر توالی بر آنها نشان داده شده‌اند.



شکل ۴ نمودارهای تغییرات ترکیب نمونه‌های مورد بررسی. نمایش بازانیت‌ها با دایره سیاه، و سایر نمونه‌ها با مربع تو خالی نشان داده شده‌اند.



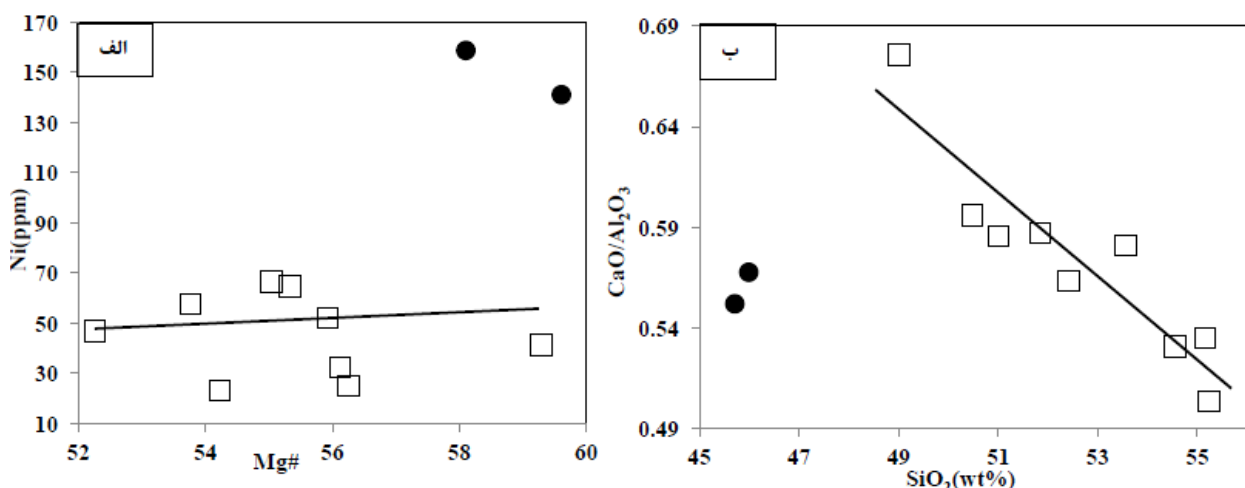
شکل ۵ الف) نمودار تغییرات REE رسم شده برای نمونه‌های مورد بررسی، بهنجار شده به کندrit C1 [۲۴]. ب) نمودار عنکبوتی بهنجار شده به گوشته اولیه [۲۴]. الگوهای مقدار متوسط نمونه‌های مورد بررسی در نمودارها رسم شده است. Ben: بنموریت، Haw: هاوائیت، Mu: موژه‌آریت و Bas: بازانیت.

۰/۸۴) می‌توانند بیانگر جدایش احتمالی کانی‌های فلدسپات قلیابی و یا فلدسپاتوئید [۲۷] در ماقمای اولیه سازنده این سنگ‌ها باشند.

در نمونه‌های هاوائیت، موژه‌آریت و بنموریت، با افزایش مقدار SiO_2 روند تقریباً کاهشی در مقدار MgO و Ni دیده می‌شود (شکل ۴). در نمودار مقدار $\text{Mg}^{\#}$ نسبت به Ni (شکل ۶ الف) نیز در این سنگ‌ها روند تقریباً ثابتی با کاهش مقدار $\text{Mg}^{\#}$ دیده می‌شود. با توجه به این‌ها به نظر می‌رسد که در این سنگ‌ها، با کاهش مقدار MgO تغییر چندانی در مقدار Ni خنده‌است. بنابراین به احتمال بسیار جدایش کانی الیوین صورت نگرفته و یا در مقدار ناچیزی انجام شده است.

جدایش بلورین

در بازانیتها، حضور کمتر از ۱۵ درصد الیوین و کمتر از ۱ درصد کلینوپیروکسن به صورت درشت بلور و $\text{Mg}^{\#}$ کمتر از ۶۰ نشان می‌دهند که این سنگ‌ها کومهای و یا ترکیبی نزدیک به یک بازالت پیکریتی نیستند [۲۵]. در این سنگ‌ها با توجه به Ni , MgO و Cr کمتر از یک ماقمای اولیه [۲۶]، شکل ۶ الف و حضور درشت بلورهای الیوین در آنها به نظر می‌رسد که به احتمال بسیار جدایش کانی‌های الیوین و کلینوپیروکسن در ماقمای اولیه سازنده آنها رخ داده است. همچنین، مقدار Al_2O_3 , Na_2O و Ba , Sr کمتر آنها نسبت به سایر نمونه‌ها (جدول ۱) و ناهنجاری منفی ضعیف Eu (متوسط

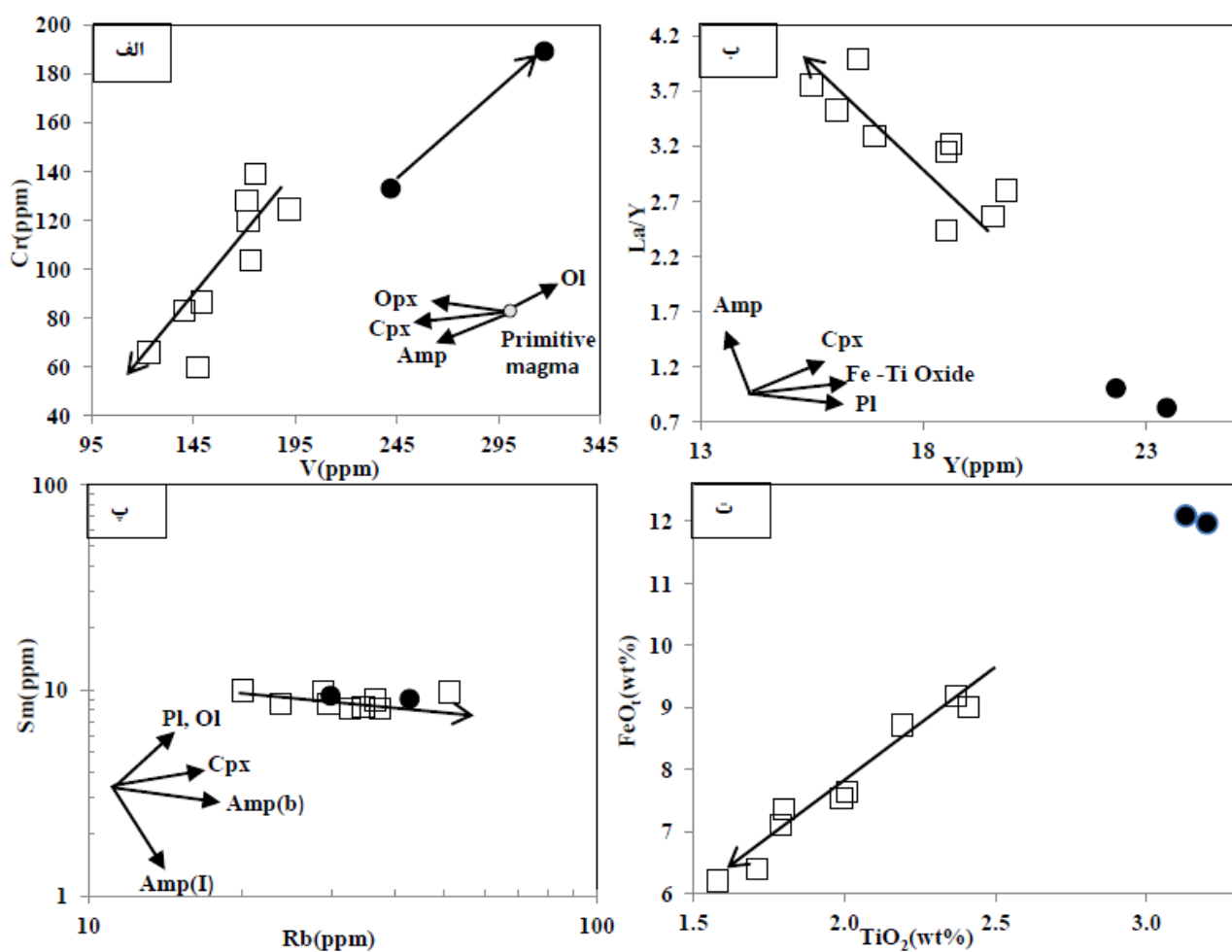


شکل ۶ الف) نمودار $Mg\#$ نسبت به Ni. ب) نمودار SiO_2 نسبت به CaO/Al_2O_3 [۲۸]. بازانیت‌ها با دایره سیاه و سایر نمونه‌ها با مربع توخالی نشان داده شده‌اند.

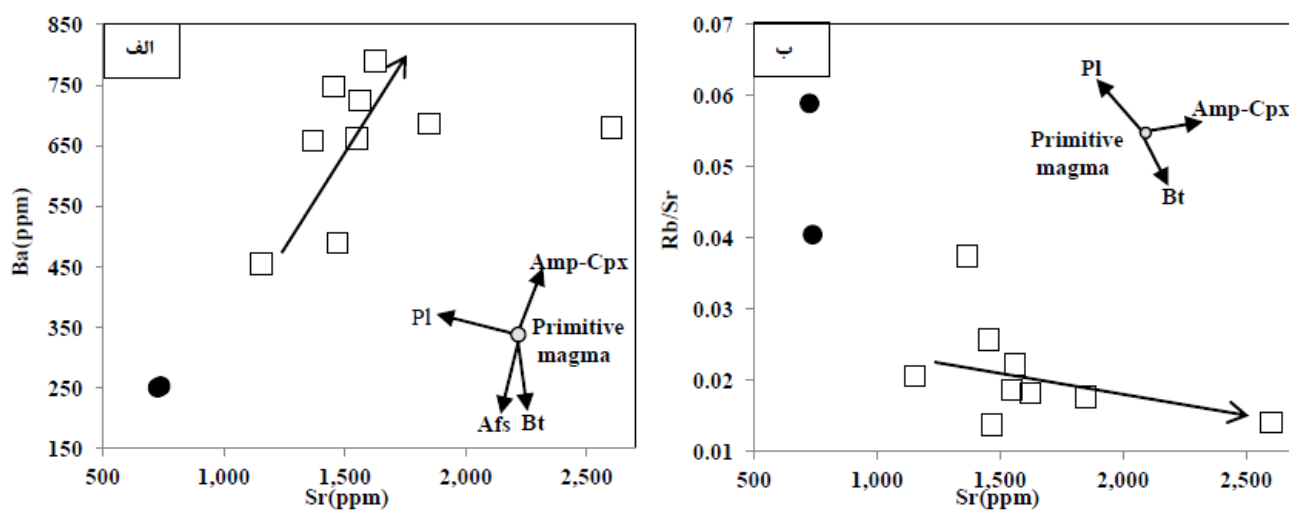
بسیار در اثر جدایش این کانی بوده است [۳۳]. در این سنگ‌ها، حضور کانی‌های کلینوپیروکسن و آمفیبول به صورت درشت بلور نیز شاهد دیگری بر جدایش این کانی‌هاست. در هاوائیت‌ها، موژه‌آریت‌ها و بنموریت‌ها، روند کاهشی در مقدار TiO_2 و FeO_t با افزایش مقدار SiO_2 دیده می‌شود (شکل ۴). در شکل ۷ نیز رابطه مستقیمی بین مقدار TiO_2 و مقدار FeO_t وجود دارد. این ویژگی‌ها می‌توانند به احتمال بسیار ناشی از جدایش اکسیدهای آهن و تیتان باشند. در این سنگ‌ها، ناهنجاری منفی ضعیف Ti (شکل ۵ ب) و حضور ۱ تا ۳ درصد اکسیدهای آهن و تیتان شواهد دیگری بر احتمال جدایش اکسیدهای آهن و تیتان هستند [۳۴، ۲۸].

در هاوائیت‌ها، موژه‌آریت‌ها و بنموریت‌ها، روند افزایشی دیده شده (شکل ۴) در مقدار Sr ، Al_2O_3 و SiO_2 و ثابت بودن مقدار ناهنجاری منفی ضعیف Eu (با مقدار متوسط ۰/۸۸ در هاوائیت، ۰/۸۶ در موژه‌آریت و ۰/۸۸ در بنموریت) از جمله شواهد جدایش نیافتن کانی پلازیوکلаз هستند. روندهای دیده شده در نمودارهای Rb/Sr نسبت به Ba و Sr با افزایش مقدار SiO_2 (جدول ۱) نیز می‌توانند بیانگر جدایش نیافتن کانی فلدسپات قلیایی باشند [۲۷، ۳۵]. بنابراین، روند تقریباً کاهشی دیده شده در مقدار Na_2O (شکل ۴) ممکن است تنها به دلیل جدایش آمفیبول سدیمی باشد.

نمودار مقدار SiO_2 نسبت به CaO/Al_2O_3 (شکل ۶ ب) نقش جدایش کانی‌های کلینوپیروکسن و پلازیوکلاز را روشن می‌کند [۲۸، ۲۹]. چنان که دیده می‌شود، با افزایش مقدار SiO_2 در هاوائیت‌ها، موژه‌آریت‌ها و بنموریت‌ها، نسبت CaO/Al_2O_3 کاهش می‌یابد. این روند کاهشی نشانگر جدایش کانی کلینوپیروکسن است. همچنین، در این سنگ‌ها دیده روندهای کاهشی برای مقدار Cr و CaO و افزایشی در مقدار Al_2O_3 (شکل ۴) می‌توانند بیانگر جدایش کانی کلینوپیروکسنی غنی از Ca و فقیر از Al باشند [۳۰]. در نمودارهای Y نسبت به La/Y (شکل ۷ ب) و Rb نسبت به Sm (شکل ۷ ب)، روند جدایش کانی‌های آمفیبول، کلینوپیروکسن، الیوین، و پلازیوکلاز مشخص شده است [۳۱، ۳۲]. چنان که دیده می‌شود، روند نمونه‌های هاوائیت، موژه‌آریت و بنموریت با روند جدایش کانی آمفیبول همخوانی دارند. همچنین روند دیده شده در شکل ۷ ب، با روند جدایش آمفیبول از یک مایع بازالتی همخوانی دارد. در شکل‌های ۷ الف و ب نیز روندهای دیده شده در این سنگ‌ها بیشترین همخوانی را با روند جدایش کانی‌های آمفیبول و کلینوپیروکسن نشان می‌دهند. بنابراین به نظر می‌رسد که جدایش کانی آمفیبول و کلینوپیروکسن نقش موثری در تغییرات ترکیبی دیده شده در این سنگ‌ها ایفا نموده‌اند. کاهش دیده شده در مقدار HREE و MREE (شکل ۵) موژه‌آریت‌ها و بنموریت‌ها در مقایسه با هاوائیت‌ها نیز، با توجه به ضریب توزیع بالای این عناصر در کانی آمفیبول، به احتمال



شکل ۷. الف) نمودار V نسبت به Cr [۳۴]. ب) نمودار Y نسبت به La/Y [۳۲]. پ) نمودار Rb Sm نسبت به Sm [۳۱] که Amp(b) و Amp(I) به ترتیب نمایشگر روند جدایش آمفیبول از یک مایع بازالتی و از یک مایع با ترکیب حدوساط هستند. ت) نمودار TiO₂ نسبت به FeO_t. در نمودارها، بازانیت‌ها با دایره سیاه و سایر نمونه‌ها با مربع توانایی نشان داده‌اند و پیکان روند افزایش مقدار SiO₂ را در نمونه‌ها نشان می‌دهد.



شکل ۸. الف) نمودار Sr نسبت به Ba و ب) نمودار Rb/Sr نسبت به Sr [۳۴]. بازانیت‌ها با دایره سیاه و سایر نمونه‌ها با مربع توانایی نشان داده‌اند و پیکان روند افزایش مقدار SiO₂ را در نمونه‌ها نشان می‌دهد.

Nb و نسبت Nb/U (شکل ۹ پ) و نبود ناهنجاری منفی Nb در این سنگ‌ها، به احتمال بسیار در نمونه‌های مافیک مورد بررسی آلایش پوسته‌ای رخ نداده و یا در صورت رخداد بسیار ناچیز بوده است [۳۶-۳۸]. اما در نمونه‌های حدوداً (یا جدایش یافته‌تر)، شواهد زمین شیمیایی بیان شده و شکل ۹ پ بیانگر رخداد مقداری آلایش پوسته‌ای هستند. همچنین، قرارگیری این نمونه‌ها در گستره بالای روند بازالت‌های پشت‌های میان اقیانوسی – بازالت‌های جزایر اقیانوسی (OIB-MORB) در شکل ۱۰ الف، با توجه به نظر پیرس [۳۹]، بیانگر اثر فرایندهای جدایش بلورین و آلایش پوسته‌ای بر آنهاست. در این نمونه‌ها، حضور بیگانه بلورهای کوارتز، پلازیوکلаз و فلدسپات قلیایی می‌تواند شاهد دیگری بر رخداد آلایش پوسته‌ای باشد.

خاستگاه نمونه‌های کمتر جدایش یافته

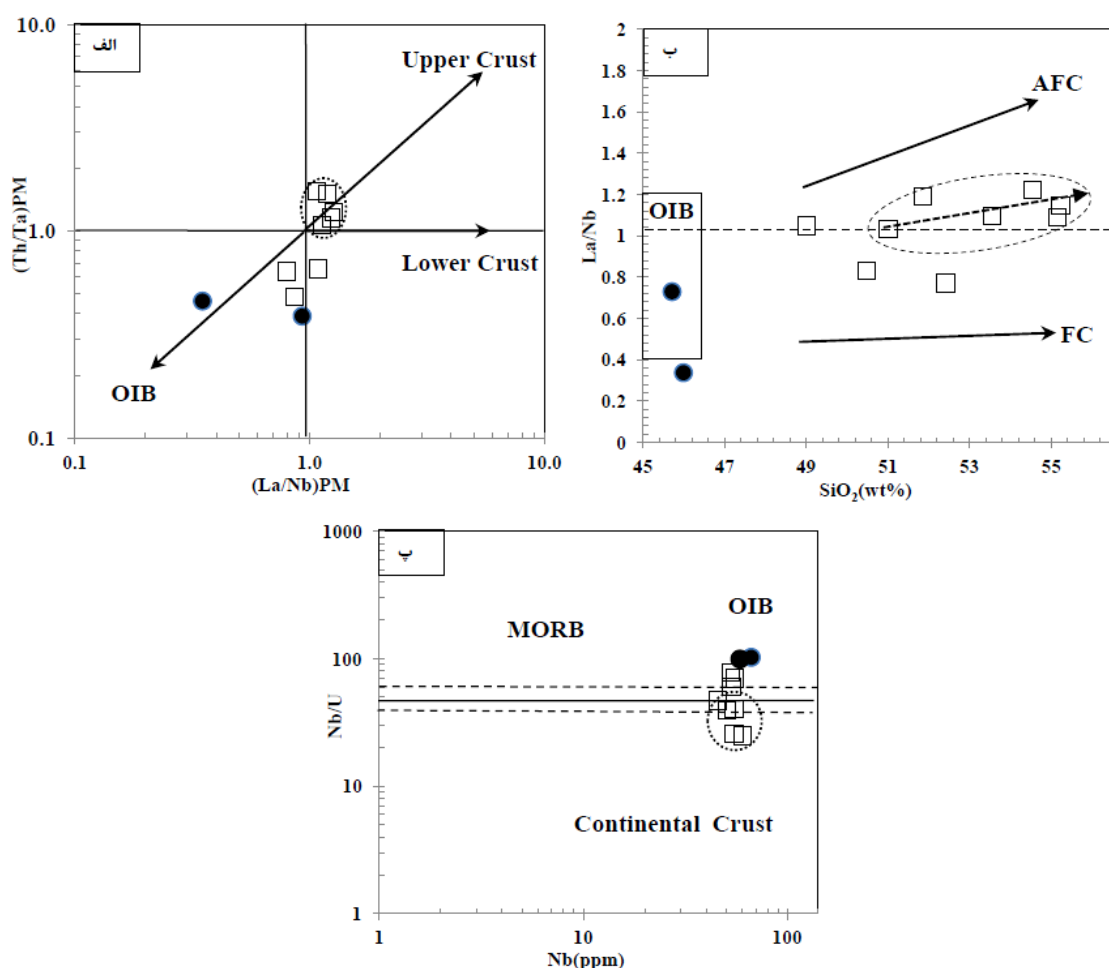
تفاوت مقدار متوسط Mg#، Ni و Cr در بازانیت‌ها، هاوائیت‌ها و موژه‌آریت‌های کمتر جدایش یافته از ترکیب یک ماقمای اولیه برآمده از گوشه (Mg# ۶۶ تا ۷۵، مقدار Ni بین ۴۰۰ تا ۵۰۰ و Cr بیش از ۱۰۰۰ قسمت در میلیون [۲۶]) غنی‌شده باشند. بنابراین در ادامه، با استفاده از مقدار برخی نسبت‌های عناصر و نمودارهای طراحی شده توسط پژوهشگران، تاثیر رخداد فرایندهای آلایش پوسته‌ای بر تغییرات ترکیبی سنگ‌های نبود نظر بررسی شده است.

همچنین، چنان که پیشتر بیان شد، به نظر نمی‌رسد که فرایندهای آلایش پوسته‌ای اثر چندانی بر ترکیب نمونه‌های مافیک مورد بررسی داشته است. بررسی ویژگی‌های شیمیایی فرایندهای جدایش بلورین نیز بیانگر عدم جدایش هاوائیت‌ها و موژه‌آریت‌ها از بازانیت‌های این سنگ‌هایی با خروجی قلیایی نوزای شرق ایران [۱۱، ۱۰] است. همچنین، چنان که ماقمای اولیه گزارش نشده است. ترکیب شیمیایی نزدیک به یک ماقمای اولیه غنی‌شده باشند. بنابراین به احتمال بسیار تفاوت‌های ترکیبی میان این سنگ‌ها و غنی‌شده‌گری‌های دیده شده در آنها ویژگی‌هایی از خاستگاه ماقمه‌های سازنده آنها هستند. شکل-۹ الف، پ و ۱۰ و مقدار Nb/Ta در نمونه‌های مافیک مورد بررسی (در بازانیت‌ها ۲۱/۵۸ و متوسط آن در هاوائیت‌ها و موژه‌آریت‌های کمتر جدایش یافته برابر با ۱۶/۸۰ درصد) ناشی شدن آنها از مذاب‌های برآمده از یک گوشه غنی شده (۰/۲ ± ۱۷/۵) [۴۰، ۴۱] را نشان می‌دهند.

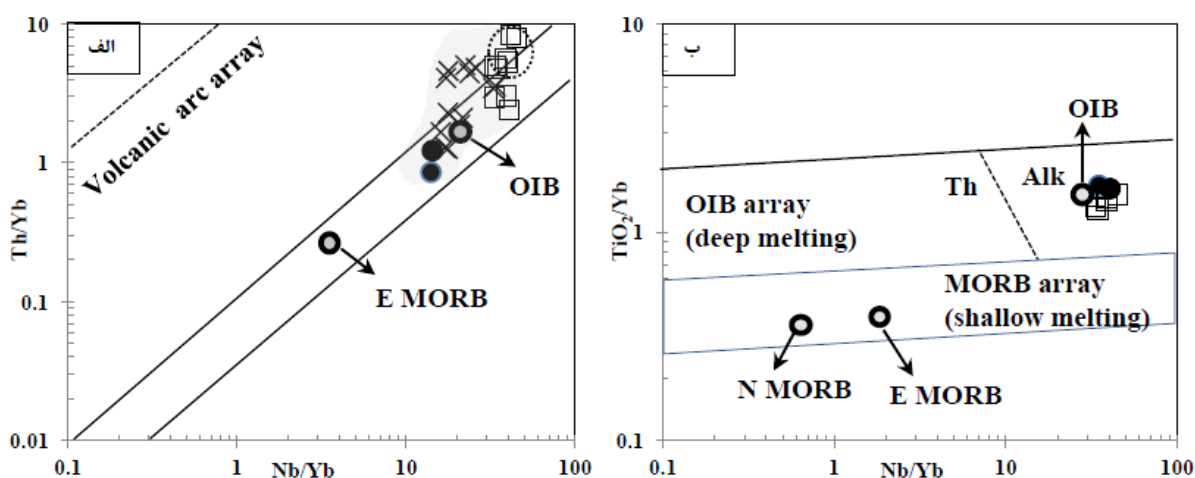
چنان که بیان شد، در سنگ‌های مورد بررسی غنی شده‌گی در LILE و HFSE نسبت به REE و HREE وجود دارد. مقدار بالای نسبت‌های Ce/Yb و Th/U، Ba/Zr غنی شده‌گی در این سنگ‌ها را به خوبی نشان می‌دهند. همچنین، تفاوت نمایان مقدار این نسبت‌ها در بازانیت‌ها (با مقدار متوسط به ترتیب ۰/۸۵، ۲/۶۸ و ۳۳/۹۳) با سایر نمونه‌ها (به ترتیب ۱/۷۹ تا ۳/۹۶، ۵/۱۵ و ۷/۶۹ تا ۶۷/۹۶) و قرارگیری بازانیت-ها در گسترهای متفاوتی نسبت به سایر نمونه‌ها در شکلهای ۶ و ۸ شاهدهای دیگری بر تفاوت ترکیب زمین شیمیایی آنها با هم هستند. اما گستره تغییر مقدار این نسبت‌ها در هاوائیت‌ها، موژه‌آریت‌ها و بنموریت‌ها و تفاوت این مقدارها با بازانیت‌ها تنها با رخداد فرایندهای جدایش بلورین قابل توضیح نیست [۳۵]. خیرخواه و همکاران [۱۱] این تفاوت در مقدار غنی شده‌گری‌های دیده شده در سنگ‌های خروجی قلیایی نوزا را برآمده از رخداد فرایندهای آلایش پوسته‌ای قابل ملاحظه در این سنگ‌ها دانسته‌اند. به اعتقاد پژوهشگرانی چون پیرس و پیت [۳۶] و ریجو و همکاران [۳۷] نیز این غنی شده‌گری‌ها می‌توانند در نتیجه آلایش پوسته‌ای و یا ناشی‌شدن ماقمای سازنده سنگ از یک گوشه غنی‌شده باشند. بنابراین در ادامه، با استفاده از مقدار برخی نسبت‌های عناصر و نمودارهای طراحی شده توسط پژوهشگران، تاثیر رخداد فرایندهای آلایش پوسته‌ای بر تغییرات ترکیبی سنگ‌های مورد نظر بررسی شده است.

آلایش پوسته‌ای

چنان که در نمودار $(La/Nb)_{PM}$ نسبت به $(Th/Ta)_{PM}$ (شکل ۹ الف) دیده می‌شود، دو نمونه بازانیتی، یک نمونه هاوائیتی و دو نمونه موژه‌آریتی (مافیک‌ترین نمونه‌های مورد بررسی) در گستره یک گوشه غنی شده واقع هستند. این در حالی است که نمونه‌های دیگر، شامل نمونه‌های جدایش یافته‌تر موژه‌آریتی و بنموریتی، با توجه به مقدار بالاتر $(Th/Ta)_{PM}$ (شکل ۹ الف) تاثیر مقدار کمی آلایش با ترکیبات پوسته بالایی را نشان می‌دهند [۳۸]. در نمودار SiO_2 نسبت به La/Nb (شکل ۹ ب) نیز روند دیده شده برای نمونه‌های جدایش یافته‌تر با روند آلایش و جدایش بلورین (رونده AFC) هم‌خوانی بیشتری را نشان می‌دهد. در این نمودار نیز نمونه‌های بازانیتی در گستره یک گوشه غنی شده قرار دارند. بنا بر این شواهد، مقدار بالای



شکل ۹ (أ) نمودار $(\text{La}/\text{Nb})_{\text{PM}}$ نسبت به $(\text{Th}/\text{Ta})_{\text{PM}}$. (ب) نمودار SiO_2 نسبت به Nb/U . (ج) نمودار La/Nb نسبت به Nb/U با دایره سیاه و سایر نمونه‌ها با مربع توانایی نشان داده شده‌اند. دایره نقطه چین گستره نمونه‌های جدایش یافته‌تر (موژه‌آریت‌ها و بنموریت‌ها) را نشان می‌دهد.

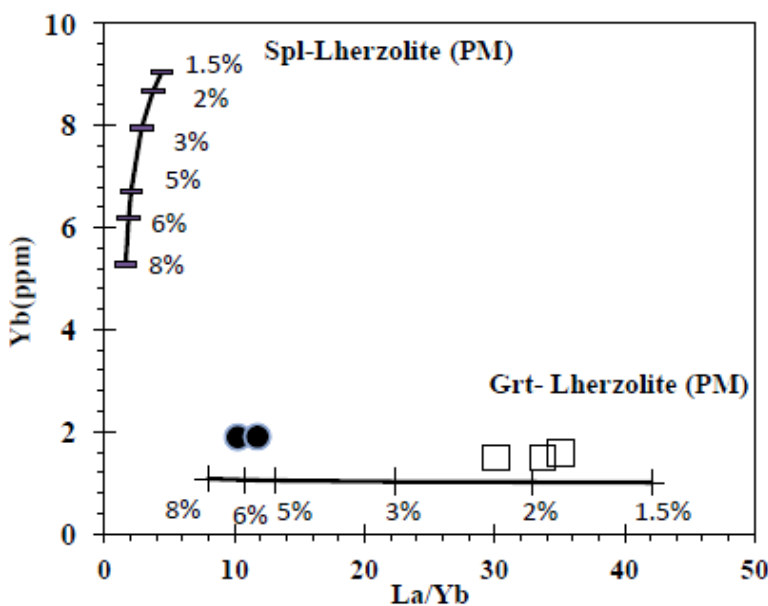


شکل ۱۰ (أ) نمودار Th/Yb نسبت به Nb/Yb با دایره سیاه و سایر نمونه‌ها با مربع توانایی نشان داده شده‌اند. دایره نقطه چین گستره نمونه‌های جدایش یافته‌تر و آلایش یافته‌تر مورد بررسی (موژه‌آریت‌ها و بنموریت‌ها) را نشان می‌دهد. گستره نمونه‌های مورد بررسی توسط خیرخواه و همکاران [۱۱] با خاکستری و نمونه‌های بررسی شده توسط پانگ و همکاران [۱۰] با علامت ضربدر نمایش داده شده‌اند. در ب تنها ۵ نمونه مورد بررسی که در نمودار (أ) در گستره روند OIB - MORB واقع شده، رسم شده است.

تفاوت‌های زمین‌شیمیایی میان بازآئیت‌ها با سایر نمونه‌ها و همچنین با نمونه‌های پانگ و همکاران [۱۰] و خیرخواه و همکاران [۱۱] (شکل ۱۰ الف) به احتمال بسیار می‌تواند به دلیل تفاوت در درجه ذوب‌بخشی گوشه خاستگاه ماقماهای سازنده این سنگ‌ها باشد [۴۳].

به منظور بررسی درجه ذوب‌بخشی احتمالی و ترکیب گوشه از الگوی ذوب‌بخشی غیرموdal [۴۴]، بر ترکیبات احتمالی از گوشه، استفاده شد (شکل ۱۱). چنان که دیده می‌شود، نمونه‌های مافیک مورد بررسی در گستره نزدیک به روند ذوب یک لرزولیت گارنت‌دار قرار دارند. همچنین شکل ۱۱ نشان می‌دهد که ماقماهای سازنده بازآئیت‌ها به احتمال بسیار می‌توانند در نتیجه ۵ تا ۷ درصد ذوب‌بخشی و هاوائیت‌ها و موژه‌آریت‌ها از ۲ درصد ذوب‌بخشی ناشی شده باشند. این موضوع، یعنی شکل گرفتن هاوائیت‌ها و موژه‌آریت‌ها از ذوب‌بخشی کمتر نسبت به بازآئیت‌ها، می‌تواند تفاوت‌های این سنگ‌ها از جمله غنی شدگی بیشتر هاوائیت‌ها و موژه‌آریت‌ها از LREE و LILE نسبت به بازآئیت‌ها را به خوبی توضیح دهد.

شباهت الگوهای REE و عنکبوتی نمونه‌های مورد بررسی (شکل ۵) به الگوهای OIB، نبود ناهنجاری منفی Nb و Ta در آنها و شکل‌های ۹ الف، پ و ۱۰ از شواهد ناشی‌شدن ماقماهای سازنده نمونه‌های مافیک مورد بررسی (نمونه‌های کمتر جدایش یافته) از ذوب گوشه‌ای با ترکیب نزدیک به OIB، یعنی گوشه سست کره‌ای، است. قرارگیری نمونه‌های مافیک کمتر جدایش یافته در گستره روند OIB-MORB شکل ۱۰ الف در نمودار Nb/Yb نسبت به TiO₂/Yb (شکل ۱۰ ب) نیز نشان می‌دهد که ماقماهای سازنده این نمونه‌ها به احتمال بسیار برآمده از فرایند ذوب‌بخشی عمیق (عمق پایداری گارنت) از گوشه‌ای با ترکیب OIB هستند. در نمونه‌های مورد بررسی، نسبت‌های (Tb/Yb)_N بیش از ۱/۸۰ (۲/۳۶ تا ۳/۴۰) و (Dy/Yb)_N بیش از ۱/۸۱ (۲/۲۱ تا ۱/۸۰) و غنی‌شدنی از LREE نسبت به HREE شواهد دیگری برای حضور گارنت در ترکیب گوشه ذوب شده هستند [۴۲]. بنابراین، به نظر می‌رسد که هم بازآئیت‌ها و هم هاوائیت‌ها و موژه‌آریت‌ها از تکامل ماقماهای اولیه‌ای شکل گرفته‌اند که از ذوب‌بخشی گوشه‌ای با ترکیب OIB و در حضور کانی گارنت ناشی شده‌اند. اما



شکل ۱۱ بررسی درجه ذوب‌بخشی ماقماهای سازنده دو نمونه بازآئیتی (دوایر سیاه)، یک نمونه هاوائیت و دو نمونه موژه‌آریتی (مربع‌های تو خالی). برای بررسی تغییرات مقدار La/Yb نسبت به Yb طی ۱/۵، ۲، ۳، ۵، ۶ و ۸ درصد ذوب‌بخشی در ترکیبات گوشه اولیه گارنت دار و اسپینل دار از نتایج سان و مک دانا [۲۴] از الگوی ذوب‌بخشی غیرموdal آلبارد [۴۴] استفاده شده است.

- C. H., Lee H. Y., Lo C. H., "Eocene–Oligocene post-collisional magmatism in the Lut–Sistan region, eastern Iran: Magma genesis and tectonic implications", *Lithos* 180–181 (2013) 234–251.
- [3] Alavi Naini M., Lotfi M., "Geological Map of Nehbandan, scale 1:100000", Geological Survey of Iran (1989).
- [4] Alavi Naini M., Lotfi M., "Geological Map of Khunik, scale 1:100000", Geological Survey of Iran (1990).
- [5] Alavi Naini M., Lotfi M., "Geological Map of Seyasteragi, scale 1:100000", Geological Survey of Iran (1991).
- [6] Biabangard H., Najafzade M., "Mineralogy, geochemistry and origin of Chaharfarsakh intrusive and extrusive rocks, Lut block", *Iranian Journal of Crystallography and Mineralogy* 24 (2016) 515–530 (in Persian, with English abstract).
- [7] Camp V. E., Griffis R. J., "Character, genesis and tectonic setting of igneous rocks in the Sistan Suture Zone, of eastern Iran", *Lithos* 15 (1982) 221–239.
- [8] Walker R. T., Gans P., Allen M. B., Jackson J., Khatib M., Marsh N., Zarrinkoub M., "Late Cenozoic volcanism and rates of active faulting in eastern Iran", *Geophysical Journal International* 177 (2009) 783–805.
- [9] Mollashahi N., Zarrinkoub M. H., Mohammadi S. S., Khatib M. M., "Petrology of young volcanics in Hamun Lake Area (East of Iran)", *Iranian Journal of Crystallography and Mineralogy* 19 (2011) 519–528 (in Persian, with English abstract).
- [10] Pang K. N., Chung S. L., Zarrinkoub M. H., Mohammadi S. S., Yang H. M., Chu C. H., Lee H. Y., Lo C. H., "Age, geochemical characteristics and petrogenesis of late Cenozoic intraplate alkali basalts in the Lut–Sistan region, eastern Iran", *Chemical Geology* 306–307 (2012) 35–40.
- [11] Kheirkhah M., Neill M.I., Allen M.B., "Petrogenesis of OIB-like basaltic volcanic rocks in a continental collision zone: Late Cenozoic magmatism of Eastern Iran", *Journal of Asian Earth Sciences* 106 (2015) 19–33.
- [12] Mojadadi moghadam H., Ahmadi A., "Petrology and geochemistry of pillow lavas and mafic rocks in the middle part of the fault zone Nosratabad-Kahurak, East of Iran", *Iranian Journal of Crystallography and Mineralogy* 23 (2015) 309–320 (in Persian, with English abstract).
- [13] Khatib M., "Geometry of strike-slip Fault termination", PhD thesis, Shahid Beheshti University (1377) (in Persian).

برداشت

سنگ‌های خروجی قلیایی نوزا در منطقه نهbandan و آسگی شامل بازانیت، هاوائیت، موژه‌آریت و بنموریت هستند. نتایج زمین شیمیایی و سنگ‌نگاری نشان می‌دهند که هاوائیت‌ها، موژه‌آریت‌ها و بنموریت‌ها برآمده از جدایش بلورین از ماقمایی با ترکیب بازانیت‌ها، موژه‌آریت‌ها و بنموریت‌ها، جدایش کانی‌های آمفیبول، کلینوپیروکسن و اکسیدهای آهن و تیتان بر تعییرات ترکیب دیده شده در آنها موثر بوده است. بررسی فرایند آلایش پوسته‌ای نیز در این سنگ‌ها نشان می‌دهد که ترکیبات مافیک مورد بررسی شامل بازانیت‌ها، هاوائیت‌ها و موژه‌آریت‌ها با مقدار SiO_2 کمتر از ۵۲ درصد وزنی دستخوش آلایش پوسته‌ای نشده‌اند. اما ترکیب‌های جدایش یافته‌تر، شامل تعدادی از موژه‌آریت‌ها و بنموریت‌ها، به احتمال بسیار تا حدی آلایش پوسته‌ای را پشت سر گذاشته‌اند.

براساس نتایج بررسی‌های زمین شیمیایی در این پژوهش به نظر می‌رسد که سنگ‌های خروجی قلیایی نوزا در مناطق نهbandan و آسگی از یک گوشه سست کره‌ای شبیه به خاستگاه بازالت‌های جزایر اقیانوسی (OIB) شکل گرفته‌اند. این موضوع با خاستگاه گزارش شده توسط خیرخواه و همکاران [۱۱] همخوانی ندارد. همچنین، دلیل اصلی تفاوت‌های دیده شده در مقدار غنی شدگی LILE و HREE در سنگ‌های خروجی قلیایی نوزای مورد بررسی و HFSE تفاوت در درصد ذوببخشی است که ماقماهای سازنده این سنگ‌ها از آن ناشی شده‌اند. این در حالی است که خیرخواه و همکاران [۱۱] آن را در نتیجه آلایش پوسته‌ای شدید ماقماهای سازنده این سنگ‌ها بیان نموده‌اند.

قدرتانی

بدین وسیله از همراهی صحرایی آقای امان الله آبچر و خانم سمیه سراوانی قدردانی می‌شود. از داوران محترم مجله بلورشناسی و کانی شناسی ایران نیز برای بررسی و تصحیح این نوشتار سپاس گزاری می‌شود.

مراجع

- [1] Tirrul L., Bell I. R., Griffis R. J., Camp V. E., "Sistan suture zone of eastern Iran", *Geological Society of America Bulletin* 94 (1983) 134–150.
- [2] Pang K. N., Chung S. L., Zarrinkoub M. H., Khatib M. M., Mohammadi S. S., Chiu H. Y., Chu

- [28] Wilson M., "Igneous Petrogenesis; A Global Tectonic Approach", Chapman and Hall (1989).
- [29] Haghnazari Sh., Malakotian S., "The role of fractional crystallization and crustal contamination in the magmatic evolution of Paleogene volcanic rocks of Damash area in Guilan Province", Iranian Journal of Crystallography and Mineralogy 20 (2013) 651-662 (in Persian, with English abstract).
- [30] Cox K. G., "A model for flood basalt volcanism", Journal of Petrology 21 (1980) 629-650.
- [31] Aldanmaz E., Pearce J.A., Thirlwall M.F., Mitchell J.G., "Petrogenetic evolution of late Cenozoic, post-collision volcanism in western Anatolia, Turkey", Journal of Volcanology and Geothermal Research 102 (2000) 67-95.
- [32] Harangi S., Downes H., Thirlwall M., Gmelin K., "Geochemistry, Petrogenesis and Geodynamic Relationships of Miocene Calc-alkaline Volcanic Rocks in the Western Carpathian Arc, Eastern Central Europe", Journal of Petrology 48 (2007) 2261-2287.
- [33] Bachmann O., Dungan M., Bussy F., "Insights into shallow magmatic processes in large silicic magma bodies: the trace element record in the Fish Canyon magma body, Colorado", Contributions to Mineralogy and Petrology 149 (2005) 338-349.
- [34] Yang J.H., Sun J.F., Zhang M., Wu F.Y., Wilde S.A., "Petrogenesis of silica-saturated and silica-undersaturated syenites in the northern North China Craton related to post-collisional and intraplate extension", Chemical Geology 328 (2012) 149-167.
- [35] Macdonald R., Belkin H. E., Fitton J. G., Rogers N.W., Nejbert K., Tindle A. G., Marshall A. S., "The Roles of Fractional Crystallization, Magma Mixing, Crystal Mush Remobilization and Volatile Melt Interactions in the Genesis of a Young Basalt Peralkaline Rhyolite Suite, the Greater Olkaria Volcanic Complex, Kenya Rift Valley", Journal of Petrology 40 (2008) 1515-1547.
- [36] Pearce J.A., Peate D.W., "Tectonic implications of the composition of volcanic arc magmas", Annual-Reviews of Earth and Planetary Sciences 23 (1995) 251-285.
- [37] Reichev M. K., Saunders A. D., White R. V., Ukhamedov, A. I., "Geochemistry and Petrogenesis of Basalts from the West Siberian Basin: an extention of the Permo-Triassic Siberian Traps, Russia", Lithos 79 (2004) 425-452.
- [14] Walker R. T., Jackson J., "Active tectonics and late Cenozoic strain distribution in central and eastern Iran", Tectonics 23 (2004).
- [15] Nazari H., Salamat R., "Geological Map of Sarbisheh, scale 1:100000", Geological Survey of Iran (1999).
- [16] Whitney D. L., Evans B. W., "Abbreviations for names of rock-forming minerals", American Mineralogist 95 (2010) 185-187.
- [17] Dunn T., Stringer P., "Petrology and petrogenesis of the Ministers Island dike, southwest New Brunswick, Canada", Contributions to Mineralogy and Petrology 105 (1990) 55-65.
- [18] Jeffrey P.G., "Chemical Methods of Rock Analysis". 2nd edition, Pergamon Press, Oxford, England (1975).
- [19] Le Maitre R.W., "Igneous Rocks, a Classification and Glossary of Terms", Cambridge University Press, New York (2002) 236 p.
- [20] Williams H., Turner F. J., Gilbert C. M., "Petrography; An Introduction to the Study of Rocks in Thin Sections", W. H. Freeman and Company, New York, (1982) 606p.
- [21] Farmer G. L., "Continental Basaltic Rocks", University of Colorado, Boulder, Co, USA (2007).
- [22] Esmaeily D., Valizadeh M.V., Noorolahi Z., Kananian A., "Mineral chemistry and whole rock geochemistry evidences of the differentiation in the Karaj Dam basement igneous rocks", Iranian Journal of Crystallography and Mineralogy 1 (2006) 153-176 (in Persian, with English abstract).
- [23] Macdonald G. A., "Composition and origin of Hawaiian lavas", Geological Society of American Memoir 116 (1968) 477-522.
- [24] Sun S. S., McDonough W. F., "A chemical and isotopic systematics of oceanic basalts Implication for mantle composition and processes", In: Saunders A. D., Norry M. J., (eds), Magmatism in oceanic basins, Geological Society, of London Special Publication 42(1989) 313-345.
- [25] Le Bas M. J., "IUGS reclassification of the high-Mg and picritic volcanic rocks", Journal of Petrology 41 (2000) 1467-1470.
- [26] White W. M., "Geochemistry", First edition, Wiley- Blackwell, Chichester (2013).
- [27] Yang J. H., Wu F.Y., Wilde S.A., Chen F., Liu X.M., Xie L.W., "Petrogenesis of an Alkali Syenite-Granite-Rhyolite Suite in the Yanshan Fold and Thrust Belt, Eastern North China Craton: Geochronological, Geochemical and Nd-Sr-Hf Isotopic Evidence for Lithospheric Thinning", Journal of Petrology 49 (2008) 315-351.

- mantle system", Chemical Geology 120 (1995) 347-359.*
- [42] Wang K., Plank T., Walker J.D., Smith E.I., "A mantle melting profile across the Basin and Range. SW USA", Journal of Geophysical Research-Solid Earth 107 (2002).
- [43] Xu Y. G., Ma J. L., Frey F. A., Feigenson M. D., Liu J. F., "Role of lithosphere– asthenosphere interaction in the genesis of Quaternary alkali and tholeiitic basalts from Datong, western North China Craton", Chemical Geology Including Isotope Geoscience 224 (2005) 247– 271.
- [44] Albarede F., "Introduction to Geochemical Modeling", Cambridge University Press, New York (1996).
- [38] Neal C.R., Mahoney J.J., Chazey W.J., "Mantle sources and the highly variable role of continental lithosphere in basalt petrogenesis of the Kergulen Plateau and Broken Ridge LIP: results from ODP Leg 183", Journal of Petrology 43 (2002) 1177–1205.
- [39] Pearce J.A., "Geochemical fingerprinting of oceanic basalts with applications to ophiolite classification and the search for Archean oceanic crust", Lithos 100 (2008) 14–48.
- [40] Hofmann A., Jochum K., Seufert M., White M., "Nb and Pb in oceanic basalts: New constraints on mantle evolution", Earth and Planetary Science Letters 79 (1986) 33–45.
- [41] Green T.H., "Significance of Nb/Ta as an indicator of geochemical processes in the crust -